

Výpočet příčinkových čar sdužených rámu s vloženými klouby

Analogie s řešením spojitých nosníků. Stupeň přetvárné neurčitosti menší než statické při řešení upravenou deformační metodou. Základ řešení staticky neurčitý konzolový prvek tvaru T, na koncích konzol kyvně podepřený. Závislost posouvajících sil v kloubech na jejich průhybech. Kloubová rovnice. Rovnice rozevřeného kloubu. Koeficienty přenosu průhybů kloubů. Příčinkové pořadnice v kloubech a mezilehlé příčinkové pořadnice. Výhodnost metody.

Sdužené rámy s vloženými vodorovně posuvnými klouby jsou zajímavým konstrukčním systémem, užívaným dnes často pro svou výhodnost u letmo betonovaných nebo montovaných mostů z předpjatého betonu. Otázka vhodných a rychlých způsobů jejich výpočtu se právě dnes stává u nás velice aktuální, neboť tento konstrukční systém je např. zvolen pro významné projekty mostu přes nuselské údolí v Praze nebo mostu přes Vltavu v Praze pod Bulovkou, tvořícího součást řešení pražského železničního uzlu.

Statické schéma konstrukce je na obr. 1 (☉ značí vodorovně posuvný kloub), kde rám je ukončen konzolami posuvně uloženými na opěrách. Rám může být též ukončen konzolou vetknutou do opěry (obr. 2) nebo volnou (obr. 3). Konstrukce je tvořena lineárně seřazenými prvky tvaru T, spojenými v kloubech jednoduchými vazbami. Podobnou statickou skladbu má též spojitý nosník, který je tvořen řadou prostě uložených nosníků spojených jednoduchými vazbami. Z této analogie plyne, že uvažované rámy lze řešit obdobnými metodami jako spojitě nosníky.

Má-li rám tohoto typu n pilířů (obr. 1), tj. $(n + 1)$ polí, je $(n + 1)$ krát staticky neurčitý. Při řešení silovou metodou je vhodné volit základní soustavu podle obr. 4, se staticky neurčitými posouvajícími silami v kloubech $T_0 \dots T_n$. Řešení silovou metodou upravil J. Courbon podobným způsobem jako řešení spojitých nosníků třímomentovými rovnicemi, neboť jeho podporovým momentům odpovídají zde posouvající síly kloubů [1]. Ukázal dále, že u nezatižených polí lze posouvající síly kloubů počítat bez řešení systému tříčlenných rovnic přímým rekurentním způsobem, podobně jako u spojitých nosníků při řešení základními body pomocí koeficientů přestupu.

Upravená deformační metoda

V tomto pojednání ukážeme, že stejně, jako existuje obdoba řešení třímomentovými rovnicemi, existuje zde též obdoba duálního řešení spojitých nosníků rovnicemi tří pootočení. Dokážeme dále, že též toto řešení je možno

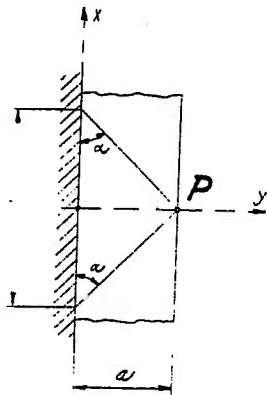
upravit rekurentním způsobem pomocí tzv. koeficientů přenosu průhybů kloubů a že tedy není nutno řešit systém tříčlenných rovnic. Příčinkové čáry posouvajících sil v kloubech od svislého zatížení (pro vodorovné zatížení je konstrukce staticky určitá) lze pak velmi rychle počítat jako ohybové čáry od jednotkového rozevření kloubu. Pro naše řešení uijeme speciálně upravené deformační metody, kterou je možno pokládat rovněž jako běžnou deformační metodu Ostenfeldovu za aplikaci deformační metody v obecném smyslu. U běžné deformační metody se zavádí ve styčnicích vetknutí, čímž se konstrukce rozpadne na vetknuté pruty. Přetvárně neurčitými pak jsou posuny neb pootočení jejich konců, pro něž se sestavují rovnice rovnováhy.

U uvažovaných rámu je vhodné zavést další kyvné podpory v kloubech (obr. 5). Tím se konstrukce rozpadne na základní staticky neurčité konzolové prvky tvaru T, kyvně podepřené na koncích konzol (obr. 8). Přetvárně neurčitými pak budou svislé průhyby kloubů (obr. 6). Vidíme, že jich u rámu na obr. 1 je celkem $(n - 1)$. Konstrukce je tedy $(n - 1)$ krát přetvárně neurčitá, což je o dva stupně méně než dává neurčitost statická. Podmínečných rovnic je proto o dvě méně, rovněž koeficientů přenosu při rekurentním řešení, což přináší početní výhodu. U méně časových rámu podle obr. 2 nebo 3 je stupeň statické a přetvárně neurčitosti stejný.

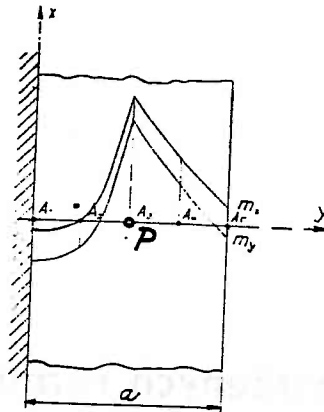
Konzolový prvek tvaru T

Napřed vypočteme pořadnice ohybové čáry konzol volného staticky určitého i -tého prvku tvaru T při zatížení břemenem $P = 1$ na konci jednak levé, jednak pravé konzoly (obr. 7). Zároveň obdržíme průhyby konců konzol a_i, b_i, c_i , charakterisující pružné vlastnosti prvku

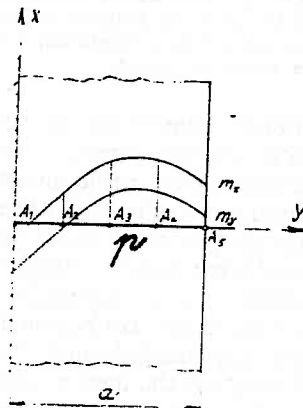
$$a_i = l_i^2 \int_0^{h_i} \frac{dy}{E\bar{y}} + \int_0^{l_i} x^2 \frac{dx}{E\bar{y}}$$



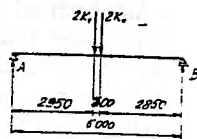
Obr. 5. Roznášecí úhel α a spolupůsobící šířka b_s



Obr. 6. Průběh momentů v řezu $x = 0$ při zatížení osamělým břemenem P v bodě A_3 (podmínka nulového momentu v bodě A_5 je splněna jen přibližně)



Obr. 7. Průběh momentů v řezu $x = 0$ při zatížení tohoto řezu přímkovým rovnoměrným zatížením p (vlevo)



Obr. 8. Nosník dráhy kladkostroje

A_3 . Velikost normálních napětí v krajních vlákních desky je přitom dána vztahem

$$\sigma_i = \frac{6 \cdot m_i}{h^2} \quad (12)$$

Příklad

Posouzení pojezdové dráhy elektrického kladkostroje typu L III - 15:

vlastní váha kladkostroje $G = 320$ kg
 max. břemeno $Q = 1500$ kg
 rozvor pojezdových kol $a = 200$ mm
 rozpětí dráhy $l = 6,00$ m
 nosník dráhy $I 24$

Napětí od ohybu celého nosníku:
 Kolový tlak

$$\psi K_1 = \frac{1}{4} 1,08(320 + 1500) = 492 \text{ kg}$$

kde $\psi = 1,08$ je vyrovnávací součinitel pro I. tř. jeřábů (ČSN 73 1310 - 1958).

$$A = \frac{2 \cdot 492 (3,05 + 2,85)}{6,00} = 968 \text{ kg}$$

$$B = \frac{2 \cdot 492 (2,95 + 3,15)}{6,00} = 1000 \text{ kg (obr. 8)}$$

$$M = 968 \cdot 2,95 = 2860 \text{ kgm}$$

$$W_x = 354 \text{ cm}^3$$

$$\sigma_o = \frac{286000}{354} = 808 \text{ kg/cm}^2$$

Napětí v krajních vlákních dolní pásnice od lokálního zatížení kolovým tlakem jsme pro názornost vyčíslili pro všechny tři zatěžovací případy.

a) Zatěžování osamělým břemenem na konci pásnice

$$M_i = 492 \cdot 5,3 = 2610 \text{ kgcm}$$

$$b_s = 2 \cdot 5,3 = 10,6 \text{ cm}$$

$$W_s = \frac{1}{6} \cdot 10,6 \cdot 1,31^2 = 3,03 \text{ cm}^3$$

$$\sigma_{La}) = \frac{2610}{3,03} = 861 \text{ kg/cm}^2$$

$$\sigma_{sa}) = \sqrt{808^2 + 861^2} - 808 \cdot 861 = 835 \text{ kg/cm}^2$$

b) Zatěžování osamělým břemenem na konci pásnice

Měrné ohybové momenty podle tab. II, v bodě A_3 , kde vzniká současné maximum pro oba směry x a y :

$$m_x = 0,492 \cdot 392,0 = 193 \text{ kgcm/cm}$$

$$m_y = 0,492 \cdot 317,5 = 156 \text{ kgcm/cm}$$

$$\sigma_{Lx} = \frac{6 \cdot 193}{1,31^2} = 675 \text{ kg/cm}^2$$

$$\sigma_{Ly} = \frac{6 \cdot 156}{1,31^2} = 546 \text{ kg/cm}^2$$

$$\sigma_x' = 808 + 675 = 1483 \text{ kg/cm}^2$$

$$\sigma_{sb}) = \sqrt{1483^2 + 546^2} - 1483 \cdot 546 = 1300 \text{ kg/cm}^2$$

c) Rovnoměrné zatížení po celé šířce pásnice

Měrné ohybové momenty podle tab. II v bodě A_3 , kde vzniká maximum pro oba směry x a y :

$$a = 5,3 \text{ cm}$$

$$m_x = 20,5 \cdot 5,3 = 109 \text{ kgcm/cm}$$

je C_n jsou koeficienty různé pro jednotlivé zatěžovací případy. Protože rovnice (8) vyhovuje všem okrajovým podmínkám kromě podmínce nulového ohybového momentu na volném okraji, jsou v [4] vypočteny koeficienty tak, že této podmínce je vyhověno alespoň pro $y = a$. Praktický výpočet toto omezení stačí, neboť moment ve směru osy x rychle vyznívá. Koeficienty C_n jsou uvedeny v tab. I.

Měrné momenty v libovolném bodě řezu $x = 0$ se určí rovnic

$$m_x = -D \sum_n C_n \left[(1 + \mu) \cos \frac{n\pi y}{a} - 1 \right] \quad (9)$$

$$m_y = -D \sum_n C_n \left[(1 + \mu) \cos \frac{n\pi y}{a} - \mu \right] \quad (10)$$

$$m_{x,y} = 0 \quad (11)$$

to měrné momenty m_x, m_y, m_{xy} jsou vyčísleny v bodech $(0, 0), A_2(0, \frac{a}{4}), A_3(0, \frac{a}{2}), A_4(0, \frac{3a}{4}), A_5(0, a)$, které leží v řezu $x = 0$. Protože v ostatních řezech jsou výměrná napětí vesměs menší, nejsou vyčíslena. Velikosti těchto momentů v bodech A_1 až A_5 jsou sestaveny v tab. II, kde všechny hodnoty vyčísleny pro $P = 1000$ kg, $p = 100$ kg/cm, $\mu = 0,3$ a pro $E = 2 \cdot 100 \cdot 000$ kg/cm². Průběh těchto momentů m_x, m_y v řezu $x = 0$ je vyznačen obr. 6 a 7.

Protože max. měrné momenty max. m_x a max. m_y vznikají

v bodě $A_3(0, \frac{a}{2})$ současně pro oba druhy zatížení,

obvykle vyčíslit napětí σ_x a σ_y pouze v tomto bodě

$$b_i = l'_i l''_i \int_0^{h_i} \frac{dy}{E\bar{f}} \quad (1)$$

$$c_i = l''_i \int_0^{h_i} \frac{dy}{E\bar{f}} + \int_0^{l''_i} x^2 \frac{dx}{E\bar{f}}$$

Zde značí (obr. 7) l'_i, l''_i délky konzol a x vzdálenost jejich průřezu od kloubu, h_i výšku pilíře a y vzdálenost jeho průřezu od paty, \bar{f} moment setrvačnosti a E modul pružnosti. Čísla a_i, b_i, c_i jsou kladná.

Uvažujeme dále staticky neurčitý prvek tvaru T, kyvně podepřený na koncích konzol (obr. 8). Určíme velikost reakcí A_i a B'_i na koncích konzol při svislém průhybu levé konzoly $v_{i-1} = 1$ ($v_i = 0$) a velikost reakcí B''_i, C_i na koncích konzol při průhybu pravé konzoly $v_i = 1$ ($v_{i-1} = 0$). Řešením dvakrát staticky neurčité soustavy obdržíme

$$A_i = a_i v_{i-1}, \quad B'_i = \beta_i v_{i-1} \quad (2)$$

$$C_i = \gamma_i v_i, \quad B''_i = \beta_i v_i$$

kde je

$$a_i = \frac{c_i}{a_i c_i - b_i^2}, \quad \beta_i = \frac{b_i}{a_i c_i - b_i^2}, \quad \gamma_i = \frac{a_i}{a_i c_i - b_i^2} \quad (3)$$

Přitom platí $a_i c_i - b_i^2 > 0$, $a_i \gamma_i - \beta_i^2 = 1$ a čísla a_i, β_i, γ_i jsou kladná.

Kloubová rovnice

Nechť dva za sebou jdoucí nezatižené prvky i a $i-1$ tvaru T mají v kloubech průhyby v_{i-1}, v_i, v_{i+1} (obr. 9). V kloubu i působí na prvek i posouvající síla T'_i a na prvek $i+1$ síla T''_i , které se podle (2) rovnají

$$T'_i = -\beta_i v_{i-1} - \gamma_i v_i, \quad T''_i = a_{i+1} v_i - \beta_{i+1} v_{i+1} \quad (4)$$

Podmínka rovnováhy v kloubu je $T''_i - T'_i = 0$ neboli

$$\beta_i v_{i-1} + (\gamma_i - a_{i+1}) v_i + \beta_{i+1} v_{i+1} = 0 \quad (5)$$

což je rovnice rovnováhy kloubu neboli kloubová, která uvádí ve vzájemný vztah tři za sebou jdoucí průhyby kloubů v nezatižených polích. Svou stavbou i významem je obdobná rovnici tří za sebou jdoucích podporových pootočení spojitěho nosníku. Je duální k rovnici tří za sebou jdoucích posouvajících sil kloubů, kterou uvádí Courbon [1], stejně jako rovnice tří pootočení u spojitěho nosníku je duální ke třímomentové rovnici.

Příčinkové čáry posouvajících sil T_k kloubů, které jsou základní a z nichž lze ostatní odvodit, vypočteme jako ohybové čáry od jednotkového rozevření kloubu k (pole nejsou zatížena), čímž rozumíme svislé oddálení konců konzol v kloubu o jednotku (obr. 10). Též v tomto kloubu musí být posouvající síly v rovnováze. Označíme-li průhyb konzoly $(k+1)$ tého prvku v kloubu k jako v_k , pak se průhyb konzoly k -tého prvku rovná v_{k-1} . Na konzolu k -tého prvku zde pak působí posouvající síla T'_k

$$T'_k = -\beta_k v_{k-1} - \gamma_k (v_k - 1) \quad (6)$$

Rovnice rovnováhy kloubu k tedy je

$$\beta_k v_{k-1} + \gamma_k (v_k - 1) + a_{k+1} v_k + \beta_{k+1} v_{k+1} = 0 \quad (7)$$

což je tzv. rovnice rozevřeného kloubu. V kloubové rovnici kloubu $k-1$ musíme za průhyb kloubu k též dosadit hodnotu $v_k - 1$.

Koeficienty přenosu průhybů

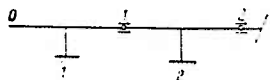
Sestavením kloubových rovnic dostaneme u rámců podle obr. 1 systém $n-1$ tříčlenných lineárních rovnic pro



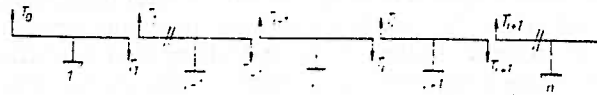
Obr. 1



Obr. 2



Obr. 3



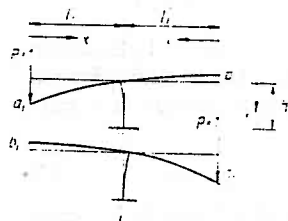
Obr. 4



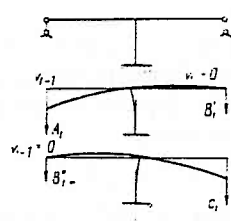
Obr. 5



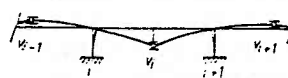
Obr. 6



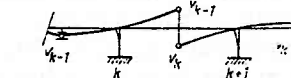
Obr. 7



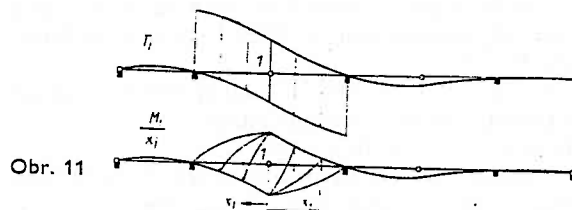
Obr. 8



Obr. 9



Obr. 10



Obr. 11

dnoty v_i , což jsou přímo hodnoty příčinkových pořadnic. Je-li rovnic málo, nejvýše dvě, řešíme je přímo. Zdá se nyní, že při větším počtu rovnic je možné a výhodnější vypočítat hodnoty v_i , aniž bychom řešili systém rovnic. Označme

$$q_i = -\frac{v_{i-1}}{v_i}, \quad q'_i = -\frac{v_i}{v_{i-1}}$$

kloubové rovnice (5) pak plyne

$$\frac{\beta_i}{q_i} = a_i + \gamma_{i-1} - \beta_{i-1} q_{i-1} \quad (8)$$

$$\frac{\beta_i}{q'_i} = \gamma_i + a_{i+1} - \beta_{i+1} q'_{i+1}$$

tyto rovnice vyjadřují rekurentní vztahy mezi hodnotami β_i resp. q'_i a můžeme je z nich tedy postupně vypočítat končí rámu. Vidíme, že jejich hodnoty jsou nezávislé na hodnotách průhybů v_i . Hodnoty q_i , resp. q'_i nazveme koeficienty přenosu průhybů doprava, resp. doleva (v nezatižených polích).

Je-li rám ukončen podle obr. 1, vycházíme při výpočtu koeficientů přenosu z hodnoty $q_1 = 0$ resp. $q'_n = 0$. Je-li rám ukončen vetknutou konzolou podle obr. 2, můžeme hlavní vetknutou konzolu pokládat za prvek T s absolutně tuhým pilířem a je pak $a_1 = b_1 = 0$, $\alpha_1 = \beta_1 = 0$, $\gamma_1 = 1$, c_1 odtud $q_1 = 0$, resp. $q'_n = 0$. Je-li rám ukončen volnou podepřenou konzolou podle obr. 3, platí $\gamma_1 = 1/c_1$, $\alpha_1 = 0$ a odtud $q_1 = b_1/c_1$, resp. $q'_n = b_n/a_n$.

Příčinkové pořadnice posouvající síly kloubu k

Zavedeme-li v rovnici (7) rozevřeného kloubu hodnoty koeficientů přenosu, dostaneme hodnoty příčinkových pořadnic posouvající síly kloubu k jako hodnotu v_k vpravo od kloubu a $v_k - 1$ vlevo od kloubu

$$v_k = \frac{\frac{\gamma_k}{\beta_k} - q_k}{\frac{1}{q'_k} - q_k}, \quad v_k - 1 = -\frac{\frac{\alpha_{k+1}}{\beta_{k+1}} - q'_{k+1}}{\frac{1}{q_{k+1}} - q'_{k+1}} \quad (9)$$

itom platí $1 > v_k > 0$, $0 > v_k - 1 > -1$. Z těchto hodnot vypočteme postupně pomocí koeficientů přenosu doleva, resp. doprava ostatní příčinkové pořadnice v místech kloubů z rovnic

$$v_{i-1} = -q_i v_i, \quad v_i = -q'_i v_{i-1} \quad (10)$$

první rovnice platí vlevo od kloubu k a druhá vpravo od kloubu k .

Mezilehlé pořadnice příčinkové čáry na konzolách domeme tak, že z rovnic (4) a (6) vypočteme zatížení na koncích konzol prvků tvaru T , odpovídající vypočteným hodnotám v_i . Jimi pak vynásobíme předem vypočtené hodnoty ohybové čáry konzol prvku tvaru T pro zatížení jednotkou na konci levé nebo pravé konzoly a obě hodnoty pak pro každý prvek sečteme. Odvodit příčinkové čáry statických veličin je již možno známými způsoby. Připomeňme jen, že je výhodné, jak ukázal Courbon [1], místo příčinkových čar momentů M počítat příčinkové řady hodnot M/x , kde x je vzdálenost bodu, pro jehož moment hledáme příčinkovou čáru, od kloubu. Všechny příčinkové čáry jednoho pole lze pak též kreslit do jednoho rázku (obr. 11).

Při výpočtu příčinkové čáry průhybu kloubu k dosadíme $v_k = 1$ a postupujeme dále zcela obdobně.

Postup výpočtu je tedy tento:

1. Vypočteme ohybové čáry konzol prvků T pro zatížení jednotkou na konci jednak levé, jednak pravé konzoly.

Zároveň obdržíme hodnoty a_i, b_i, c_i .

2. Určíme $\alpha_i, \beta_i, \gamma_i$ pro staticky neurčitý prvek T .

3. Při dvou přetvárně neurčitých sestavíme systém dvou rovnic a vyřešíme je. Při větším počtu přetvárně neurčitých určíme postupně koeficienty přenosu a z nich postupně hodnoty příčinkových pořadnic v kloubech.

4. Vypočteme posouvající síly v kloubech a jejich pomoci z ohybových čar konzol při zatížení jednotkou mezilehlé hodnoty pořadnic.

Závěrem můžeme říci, že uvedené řešení je výhodné hlavně u rámu, jejichž krajní konzoly jsou uloženy posuvně na opěry (obr. 1), neboť tato konstrukce je o dvakrát méně přetvárně než staticky neurčitá. Rovnic je zde tedy o dvě méně (u rámu se třemi pilíři místo čtyř jen dvě a se dvěma pilíři místo tří jen jedna). Při rámu o mnoha polích je značnou výhodou to, že systém rovnic není nutno řešit a je možno počítat přímo pomocí koeficientů přestupu posouvajících sil podle Courbona. Uvedený postup umožňuje nejrychlejším způsobem vypočítat příčinkové pořadnice v kloubech, a to i u rámu podle obr. 2 nebo 3. Uvedme konkrétně, že se při projektu železničního mostu přes Vltavu v Praze pod Bulovkou, který má tvar podle obr. 1 se třemi pilíři, ukázal uvedený postup pro výpočet příčinkových pořadnic v kloubech asi dvakrát rychlejší a pro výpočet mezilehlých příčinkových pořadnic asi o 10 % rychlejší než podle Courbona.

Toto řešení a řešení Courbonovo jsou vzájemně duální a obě jsou obdobou jim odpovídajících řešení spojitých nosníků.

LITERATURA

- [1] J. Courbon: Calcul des ponts à poutres consoles réunies par des articulations, Mémoires de l'A. I. P. C. 1957, vol. XVII, str. 9, Curych
O. Novák: Příspěvek k řešení rámu s vloženými klouby, [2] Inženýrské stavby č. 1/1960.